



## Wykład 5

# Dwurównaniowe i jednorównaniowe modele turbulencji – standardowy model $k-\omega$ , model SST i model Spalarta-Allmarasa.

Sławomir Kubacki

`slawomir.kubacki@meil.pw.edu.pl`

Instytut Techniki Lotniczej i Mechaniki Stosowanej,  
Politechnika Warszawska

sierpień, 2013

## Zakres wykładu

- Standardowy model k- $\omega$
- Własności i ograniczenia modelu k- $\omega$
- Model k- $\omega$  SST
- Model Spalarta - Allmarasa

## Model $k-\omega$

- W przypadku dwurównaniowych modeli turbulencji, równanie które stosowane jest do określenia skali turbulencji nie musi być konieczne równaniem dla  $\varepsilon$
- Przykładem może być model  $k-\omega$  w którym drugą wielkością jest  $\omega \sim \varepsilon/k$  nazywana charakterystyczną częstotliwością fluktuacji turbulentnych
- Pierwszy model dwurównaniowy (był to model  $k-\omega$ ) został zaproponowany przez Kołmogorowa (1942)
- Jednak istotny rozwój i popularyzację tego modelu zawdzięczmy głównie pracom Wilcoxa (1988, 1993, 2006)
- Powszechnie znaną zaletą tego modelu, w odniesieniu do modelu  $k-\varepsilon$ , jest jego większa dokładność w opisie przepływów przyściennych

## Standardowy model k- $\omega$

Model k- $\omega$  (Wilcox, 1988) dany jest następującymi równaniami:

$$\frac{Dk}{Dt} = P_k - \beta^* k\omega + \frac{\partial}{\partial x_j} \left[ (v + \sigma^* v_t) \frac{\partial k}{\partial x_j} \right] \quad (1)$$

$$\frac{D\omega}{Dt} = \alpha \frac{\omega}{k} P_k - \beta \omega^2 + \frac{\partial}{\partial x_j} \left[ (v + \sigma v_t) \frac{\partial \omega}{\partial x_j} \right] \quad (2)$$

współczynnik lepkości turbulentnej

$$v_t = \frac{k}{\omega} \quad (3)$$

produkcja  $P_k$ :

$$P_k = v_t S^2 \quad S^2 = 2S_{ij}S_{ij}$$

stałe

$$\alpha = \frac{5}{9}, \quad \beta = \frac{3}{40}, \quad \beta^* = 0.09, \quad \sigma = 0.5, \quad \sigma^* = 0.5$$

## Najnowsza wersja modelu k- $\omega$

Najnowsza wersja modelu k- $\omega$  (2008 r.) przyjmuje postać:

$$\frac{Dk}{Dt} = P_k - \beta^* \omega k + \frac{\partial}{\partial x_j} \left[ \left( \nu + \sigma^* \frac{k}{\omega} \right) \frac{\partial k}{\partial x_j} \right] \quad (4)$$

$$\frac{D\omega}{Dt} = \alpha \frac{\omega}{k} P_k - \beta \omega^2 + \frac{\partial}{\partial x_j} \left[ \left( \nu + \sigma \frac{k}{\omega} \right) \frac{\partial \omega}{\partial x_j} \right] + \frac{\sigma_d}{\omega} \frac{\partial k}{\partial x_j} \frac{\partial \omega}{\partial x_j} \quad (5)$$

współczynnik lepkości turbulentnej

$$\nu_t = \frac{k}{\tilde{\omega}} \quad (6)$$

produkcja  $P_k$  i dyssypacja

$$P_k = \nu_t S^2 \quad \tilde{\omega} = \max \left( \omega, C_{lim} \sqrt{\frac{2S_{ij}S_{ij}}{\beta^*}} \right) \quad (7)$$

↑  
człon cross-dyfuzji

## Najnowsza wersja modelu k- $\omega$

Stałe i pozostałe zależności

$$\beta^* = 0.09 \quad C_{\text{lim}} = 7/8 \quad \alpha = 13/25 \quad \sigma = 0.5 \quad \sigma^* = 0.6 \quad \sigma_{do} = 0.125$$

$$\sigma_d = \begin{cases} 0, & \frac{\partial k}{\partial x_j} \frac{\partial \omega}{\partial x_j} \leq 0 \\ \sigma_{do} & \frac{\partial k}{\partial x_j} \frac{\partial \omega}{\partial x_j} > 0 \end{cases} \quad (8)$$

$$\beta = \beta_0 f_\beta \quad \beta_0 = 0.0708 \quad f_\beta = \frac{1 + 85\chi_\omega}{1 + 100\chi_\omega}$$

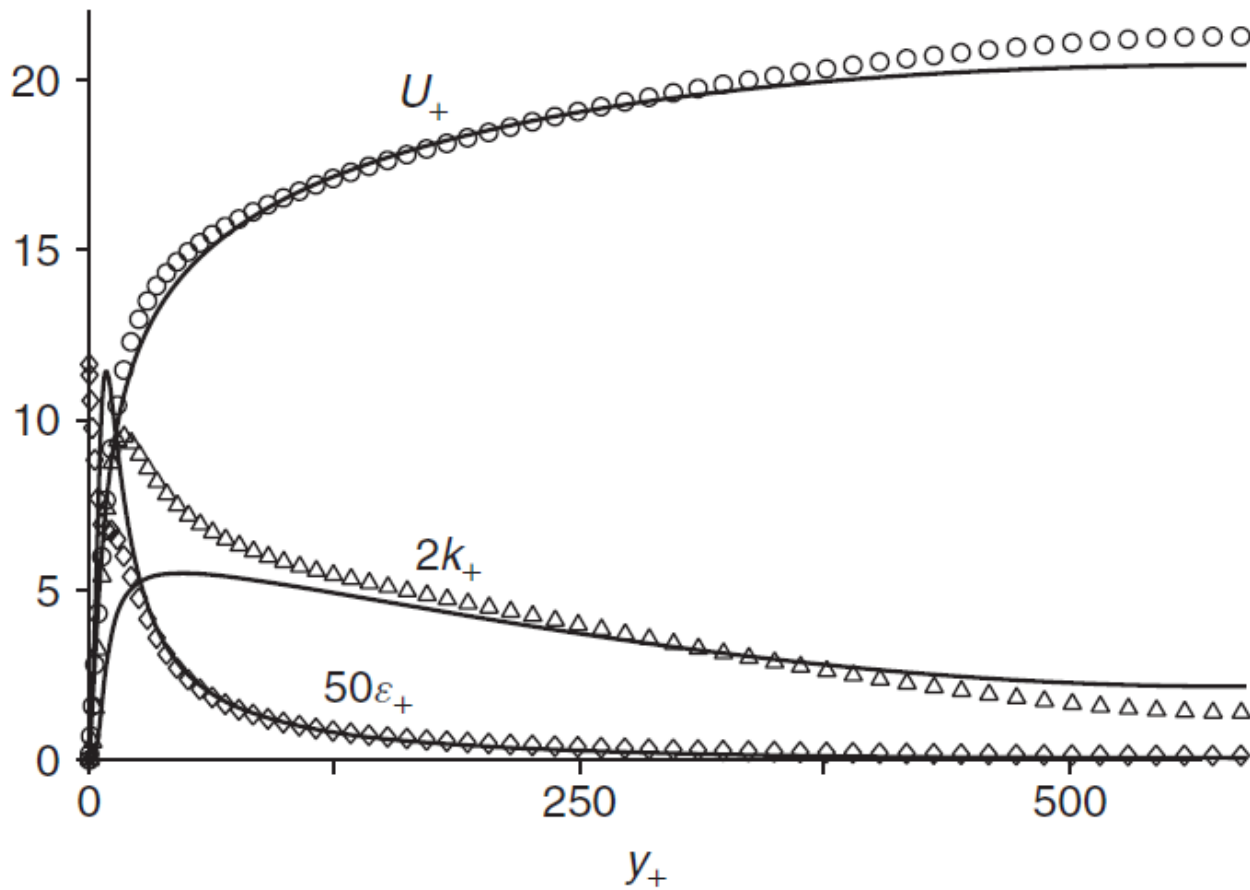
stała  $\beta$  zależna od  $\chi_\omega$   
- poprawa własności modelu  
w przepływach swobodnych

$$\chi_\omega \equiv \left| \frac{\Omega_{ij} \Omega_{jk} S_{ki}}{(\beta^* \omega)^3} \right|$$

$$\Omega_{ij} = \frac{1}{2} \left( \frac{\partial U_i}{\partial x_j} - \frac{\partial U_j}{\partial x_i} \right)$$

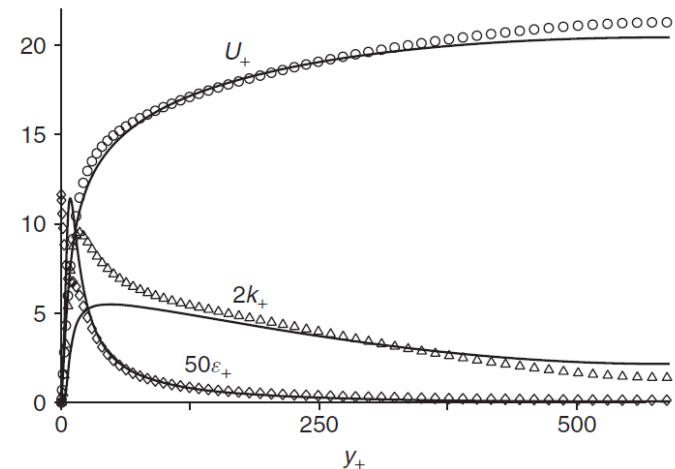
$$S_{ij} = \frac{1}{2} \left( \frac{\partial U_i}{\partial x_j} + \frac{\partial U_j}{\partial x_i} \right)$$

# Własności modelu $k-\omega$ - przepływ w warstwie przyściennej



## Własności modelu $k-\omega$ - przepływ przyścienny

- DNS w sposób poprawny wskazuje niezerowy poziom dyssypacji  $\varepsilon$  na ścianie.
- Model  $k-\omega$ : dyssypacja wynosi 0 na ścianie i występuje duży pik na profilu  $\varepsilon=C_\mu k\omega$  (przeskalowany 50 razy) dla  $y^+=10$ . Ten nadmierny poziom dyssypacji dla  $y^+=10$  prowadzi do silnego obniżenia poziomu energii kinetycznej turbulencji w pobliżu ściany.
- Zbyt niski poziom energii kinetycznej turbulencji w pobliżu ściany nie skutkuje jednak błędem przy oszacowaniu naprężeń turbulentnych. W przeciwnym razie nie uzyskano by dobrej zgodności profili średnich prędkości.
- Jest to pożądana własność ponieważ współczynnik lepkości turbulentnej jest używany w równaniach RANS.
- Modele klasy  $k-\omega$  nie wymagają więc stosowania funkcji tłumiących w równaniach (3) lub (6) ani nie wymagają stosowania innych modeli w pobliżu ścian. Pod tym względem stosowanie modelu  $k-\omega$  jest znacznie prostsze niż stosowanie modelu  $k-\varepsilon$ .

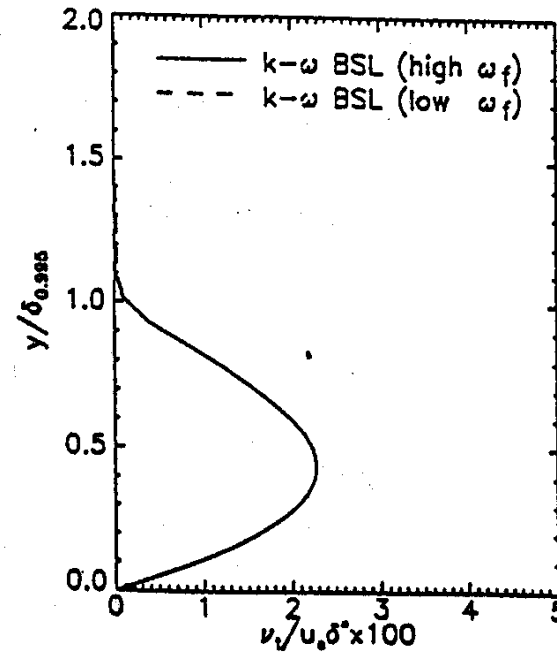
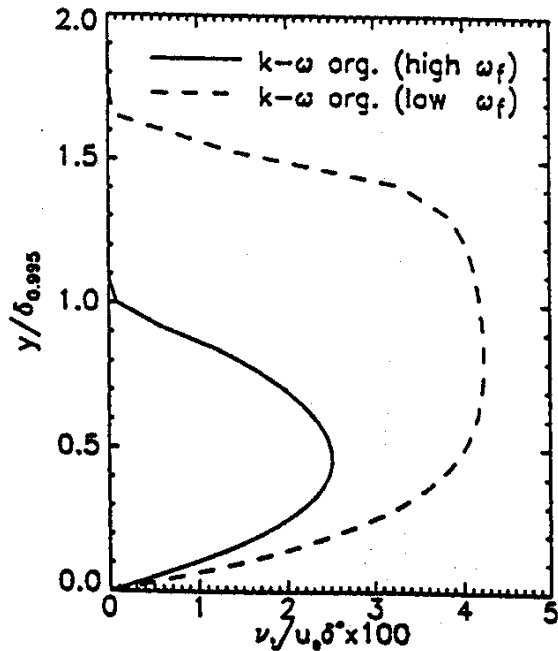




## Własności modelu $k-\omega$

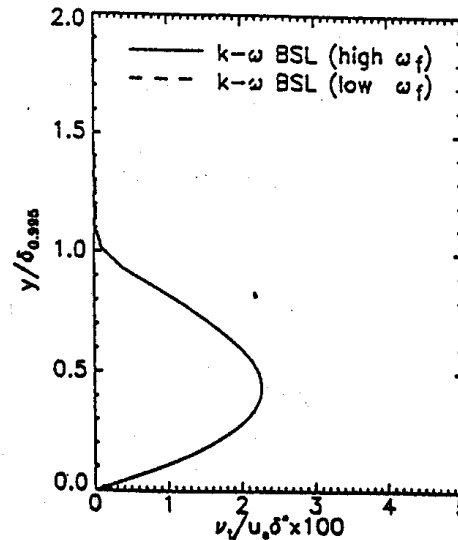
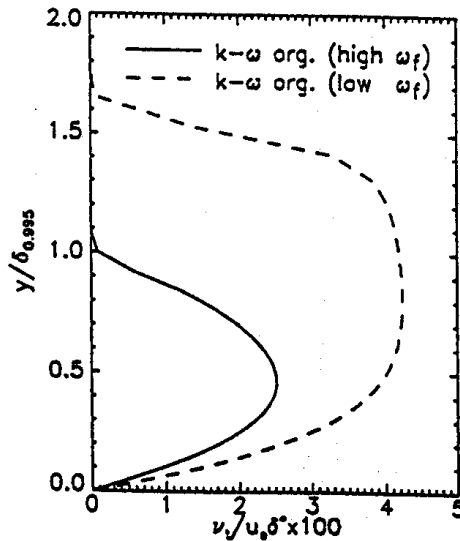
- Standardowy model  $k-\omega$  wykazuje znacznie lepsze własności w porównaniu z modelem  $k-\varepsilon$  w symulacji przepływów turbulentnych w warstwie przyściennej.
- Model  $k-\omega$  (nie dotyczy to jednak najnowszej wersji modelu z 2008 r.) ma jednak dosyć istotną wadę. Otóż rozwiązanie uzyskane z pomocą tego modelu silnie zależy od wartości zmiennych  $k$  i  $\omega$ , zdefiniowanych na brzegach obszaru obliczeniowego znajdujących się daleko od ścian.
- Model  $k-\varepsilon$  nie wykazuje tak silnej wrażliwości na wartości zmiennych na brzegu obszaru obliczeniowego.

## Własności modelu $k-\omega$ i $k-\varepsilon$



Profil lepkości turbulentnej uzyskany z zastosowaniem standardowego modelu  $k-\omega$  (lewy) i z pomocą modelu  $k-\varepsilon$  (transformowanego do modelu  $k-\omega$ ), (prawy).  
Menter (1994).

## Własności modelu $k-\omega$ i $k-\varepsilon$



- W obydwu przypadkach, przyjęcie dużych wartości zmiennej  $\omega$  nie wpływa na jakość rozwiązania.
- Jednak w przypadku przyjęcia zbyt małych (niefizycznych) wartości zmiennej  $\omega$  (lewy) w istotny sposób zmieniony zostaje profil  $\omega$  nie tylko na zewnątrz warstwy przyściennej ale również w środku warstwy.
- Model  $k-\varepsilon$  jest praktycznie nieczuły na zmiany tej wielkości.

## Własności modelu $k-\omega$

- Jak pokazał Menter (1994) i Kok (2000) istotne znaczenie w ograniczeniu nadmiernej wrażliwości modelu  $k-\omega$  ma człon cross-dyfuzji który pojawia się np. na etapie transformacji równań modelu  $k-\varepsilon$  do modelu  $k-\omega$  (w drugą stronę również ze zmienionym znakiem).
- Odpowiedni dobór współczynników dyfuzji jak i współczynnika przy członie cross-dyfuzji (Równ. 5) pozwala ograniczyć wspomnianą wrażliwość modelu  $k-\omega$ .
- Pragmatycznym rozwiązaniem tego problemu było opracowanie przez Mentera (1994) modelu hybrydowego który w pobliżu ścian używa oryginalny model  $k-\omega$ , natomiast daleko od ścian model  $k-\varepsilon$ .
- Zastosowanie tego podejścia wymagało transformacji równań modelu  $k-\varepsilon$  do modelu  $k-\omega$ . Stałe modelu zostały odpowiednio zmodyfikowane z użyciem odpowiednich funkcji.

## Transformacja modelu $k$ - $\varepsilon$ do modelu $k$ - $\omega$

Przyjmujemy standardowy model  $k$ - $\varepsilon$

$$\frac{Dk}{Dt} = P_k - \varepsilon + \frac{\partial}{\partial x_j} \left( \left( v + \frac{v_t}{\sigma_k} \right) \frac{\partial k}{\partial x_j} \right) \quad (9)$$

$$\frac{D\varepsilon}{Dt} = c_{\varepsilon 1} \frac{\varepsilon}{k} P_k - c_{\varepsilon 2} \frac{\varepsilon^2}{k} + \frac{\partial}{\partial x_j} \left( \left( v + \frac{v_t}{\sigma_\varepsilon} \right) \frac{\partial \varepsilon}{\partial x_j} \right) \quad (10)$$

$$v_t = C_\mu \frac{k^2}{\varepsilon} \quad (11)$$

$$c_\mu = 0.09, \quad \sigma_k = 1.0, \quad \sigma_\varepsilon = 1.3, \quad c_{\varepsilon 1} = 1.44, \quad c_{\varepsilon 2} = 1.92 \quad (12)$$

## Transformacja modelu $k$ - $\varepsilon$ do modelu $k$ - $\omega$ - człony źródłowe

Wiemy, że  $\varepsilon = \beta^* k \omega$ . Pochodna substancjalna wynosi:

$$\frac{D\varepsilon}{Dt} = \frac{D}{Dt}(\beta^* k \omega) = \beta^* \omega \frac{Dk}{Dt} + \beta^* k \frac{D\omega}{Dt} \quad (13)$$

Otrzymujemy:

$$\frac{D\omega}{Dt} = \frac{1}{\beta^* k} \frac{D\varepsilon}{Dt} - \frac{\omega}{k} \frac{Dk}{Dt} \quad (14)$$

$D\varepsilon/Dt$  i  $Dk/Dt$  w Równ. (14) można przyjąć na podstawie Równ. (10) i (9).

W pierwszej kolejności modyfikacji podlegają człony źródłowe:

$$\frac{D\omega}{Dt} = \frac{1}{\beta^* k} \left( c_{\varepsilon 1} \frac{\varepsilon}{k} P_k - c_{\varepsilon 2} \frac{\varepsilon^2}{k} \right) - \frac{\omega}{k} (P_k - \varepsilon) + \frac{1}{\beta^* k} \text{Diff}_\varepsilon - \frac{\omega}{k} \text{Diff}_k \quad (15)$$

Otrzymujemy:

$$\frac{D\omega}{Dt} = \underbrace{(c_{\varepsilon 1} - 1)}_{\alpha_2} \frac{\omega}{k} P_k - \underbrace{\beta^* (c_{\varepsilon 2} - 1)}_{\beta_2} \omega^2 + \frac{1}{\beta^* k} \text{Diff}_\varepsilon - \frac{\omega}{k} \text{Diff}_k \quad (16)$$

## Transformacja modelu $k$ - $\varepsilon$ do modelu $k$ - $\omega$ - człony dyfuzyjne

Na podstawie Równ. (9) i (10) człon dyfuzyjny w transformowanym równaniu dla  $\omega$  (16) przyjmuje postać

$$\begin{aligned}
 \frac{1}{\beta^* k} \text{Diff}_\varepsilon - \frac{\omega}{k} \text{Diff}_k &= \frac{1}{\beta^* k} \left[ \frac{\partial}{\partial x_j} \left( \left( v + \frac{v_t}{\sigma_\varepsilon} \right) \frac{\partial \varepsilon}{\partial x_j} \right) \right] - \frac{\omega}{k} \left[ \frac{\partial}{\partial x_j} \left( \left( v + \frac{v_t}{\sigma_k} \right) \frac{\partial k}{\partial x_j} \right) \right] = \\
 &= \frac{1}{\beta^* k} \left[ \frac{\partial}{\partial x_j} \left( \left( v + \frac{v_t}{\sigma_\varepsilon} \right) \frac{\partial (\beta^* k \omega)}{\partial x_j} \right) \right] - \frac{\omega}{k} \left[ \frac{\partial}{\partial x_j} \left( \left( v + \frac{v_t}{\sigma_k} \right) \frac{\partial k}{\partial x_j} \right) \right] = \\
 &= \frac{1}{\beta^* k} \left[ \frac{\partial}{\partial x_j} \left( \left( v + \frac{v_t}{\sigma_\varepsilon} \right) \beta^* k \frac{\partial \omega}{\partial x_j} \right) \right] + \frac{1}{\beta^* k} \left[ \frac{\partial}{\partial x_j} \left( \left( v + \frac{v_t}{\sigma_\varepsilon} \right) \beta^* \omega \frac{\partial k}{\partial x_j} \right) \right] - \frac{\omega}{k} \left[ \frac{\partial}{\partial x_j} \left( \left( v + \frac{v_t}{\sigma_k} \right) \frac{\partial k}{\partial x_j} \right) \right] = \\
 &= \frac{1}{k} \frac{\partial k}{\partial x_j} \left( v + \frac{v_t}{\sigma_\varepsilon} \right) \frac{\partial \omega}{\partial x_j} + \frac{\partial}{\partial x_j} \left( \left( v + \frac{v_t}{\sigma_\varepsilon} \right) \frac{\partial \omega}{\partial x_j} \right) + \frac{1}{k} \frac{\partial \omega}{\partial x_j} \left( v + \frac{v_t}{\sigma_\varepsilon} \right) \frac{\partial k}{\partial x_j} + \frac{\omega}{k} \frac{\partial}{\partial x_j} \left( \left( v + \frac{v_t}{\sigma_\varepsilon} \right) \frac{\partial k}{\partial x_j} \right) + \\
 &\quad - \frac{\omega}{k} \left[ \frac{\partial}{\partial x_j} \left( \left( v + \frac{v_t}{\sigma_k} \right) \frac{\partial k}{\partial x_j} \right) \right] =
 \end{aligned}$$

# Transformacja modelu $k-\varepsilon$ do modelu $k-\omega$ - człony dyfuzyjne

cd.

$$\frac{1}{\beta^* k} \text{Diff}_\varepsilon - \frac{\omega}{k} \text{Diff}_k = \frac{2}{k} \frac{\partial k}{\partial x_j} \frac{\partial \omega}{\partial x_j} \left( v + \frac{v_t}{\sigma_\varepsilon} \right) + \frac{\partial}{\partial x_j} \left( \left( v + \frac{v_t}{\sigma_\varepsilon} \right) \frac{\partial \omega}{\partial x_j} \right) +$$

$$+ \underbrace{\frac{\omega}{k} \frac{\partial}{\partial x_j} \left( \frac{v_t}{\sigma_\varepsilon} \frac{\partial k}{\partial x_j} \right) - \frac{\omega}{k} \frac{\partial}{\partial x_j} \left( \frac{v_t}{\sigma_k} \frac{\partial k}{\partial x_j} \right)}_{\cong 0 \text{ dla } \sigma_k \cong \sigma_\varepsilon}$$

Ostatecznie otrzymujemy równanie dla  $\varepsilon$  transformowane do równania dla  $\omega$ :

$$\frac{D\omega}{Dt} = \underbrace{(c_{\varepsilon 1} - 1)}_{\alpha_2} \frac{\omega}{k} P_k - \underbrace{\beta^* (c_{\varepsilon 2} - 1)}_{\beta_2} \omega^2 + \frac{\partial}{\partial x_j} \left( \left( v + \frac{v_t}{\sigma_\varepsilon} \right) \frac{\partial \omega}{\partial x_j} \right) + \frac{2}{k} \frac{\partial k}{\partial x_j} \frac{\partial \omega}{\partial x_j} \left( v + \frac{v_t}{\sigma_\varepsilon} \right) \quad (17)$$

Pojawia się dodatkowy składnik tzw. człon cross-dyfuzji.

Brak tego członu w standardowym modelu  $k-\omega$  odpowiada za jego nadmierną wrażliwość na przyjęte wartości wielkości turbulentnych na brzegu obszaru położonym daleko od ściany.



## ***Składnik cross-dyfuzji w równaniu dla $\omega$***

Wprowadzenie członu cross-dyfuzji istotne jest tylko daleko od ścian (wpływ lepkości  $\nu$  znikomy).

Równ. (17) można więc zapisać w następującej postaci (pomijając lepkość  $\nu$  w członie cross-dyfuzji i przyjmując że  $\nu_t = k/\omega$ )

$$\frac{D\omega}{Dt} = \alpha_2 \frac{\omega}{k} P_k - \beta_2 \omega^2 + \frac{\partial}{\partial x_j} \left( \left( \nu + \frac{\nu_t}{\sigma_\varepsilon} \right) \frac{\partial \omega}{\partial x_j} \right) + \frac{2}{\sigma_\varepsilon \omega} \frac{\partial k}{\partial x_j} \frac{\partial \omega}{\partial x_j} \quad (18)$$

W pobliżu ścian człon  $\partial k/\partial x_j \partial \omega/\partial x_j < 0$  – oznacza to, że  $\omega$  uzyskana na podstawie Równ. (18) (model k- $\varepsilon$ ) będzie mniejsza (większa turbulencja) od tej którą uzyskuje się na podstawie rozwiązania Równ. (2). Tłumaczy to podwyższony poziom dyssypacji  $\varepsilon$  która występuje w pobliżu ścian stosując standardowy model k- $\omega$  (Równ. 1 i 2, patrz rys. na str. 7).

Daleko od ścian  $\partial k/\partial x_j \partial \omega/\partial x_j > 0$  – oznacza to  $\omega$  uzyskana na podstawie Równ. (18) (model k- $\varepsilon$ ) będzie większa od tej uzyskanej z Równ. (2) (silniejsze tłumienie efektów turbulentnych w przypadku modelu k- $\varepsilon$ ).

## Model $k-\omega$ SST

Pragmatycznym rozwiązaniem problemu nadmiernej wrażliwości standardowego modelu  $k-\omega$  od  $k_0$  i  $\omega_0$  było opracowanie przez Mentera (1994) modelu hybrydowego który w pobliżu ścian używa oryginalny model  $k-\omega$ , natomiast daleko od ścian model  $k-\varepsilon$ .

$$\begin{aligned}
 \frac{Dk}{Dt} &= P_k - \beta^* k \omega + \frac{\partial}{\partial x_j} \left[ \left( \nu + \frac{\nu_t}{\sigma_k} \right) \frac{\partial k}{\partial x_j} \right] \\
 \frac{D\omega}{Dt} &= \alpha \frac{\omega}{k} P_k - \beta \omega^2 + \frac{\partial}{\partial x_j} \left[ \left( \nu + \frac{\nu_t}{\sigma_\omega} \right) \frac{\partial \omega}{\partial x_j} \right] + \frac{2}{\sigma_\omega \omega} \frac{\partial k}{\partial x_j} \frac{\partial \omega}{\partial x_j} \\
 & \quad + \\
 \frac{Dk}{Dt} &= P_k - \beta^* k \omega + \frac{\partial}{\partial x_j} \left[ \left( \nu + \frac{\nu_t}{\sigma_k} \right) \frac{\partial k}{\partial x_j} \right] \\
 \frac{D\omega}{Dt} &= \alpha \frac{\omega}{k} P_k - \beta \omega^2 + \frac{\partial}{\partial x_j} \left[ \left( \nu + \frac{\nu_t}{\sigma_\omega} \right) \frac{\partial \omega}{\partial x_j} \right]
 \end{aligned}
 \begin{array}{l}
 \times (1 - F_1) \\
 \\
 \\
 \times F_1
 \end{array}$$

# Model $k-\omega$ SST

=

$$\frac{Dk}{Dt} = P_k - \beta^* k\omega + \frac{\partial}{\partial x_j} \left[ \left( \nu + \frac{\nu_t}{\sigma_k} \right) \frac{\partial k}{\partial x_j} \right] \quad (19)$$

$$\frac{D\omega}{Dt} = \tilde{\alpha} \frac{\omega}{k} P_k - \tilde{\beta} \omega^2 + (1 - F_1) \frac{2}{\sigma_\omega \omega} \frac{\partial k}{\partial x_j} \frac{\partial \omega}{\partial x_j} + \frac{\partial}{\partial x_j} \left[ \left( \nu + \frac{\nu_t}{\sigma_\omega} \right) \frac{\partial \omega}{\partial x_j} \right] \quad (20)$$

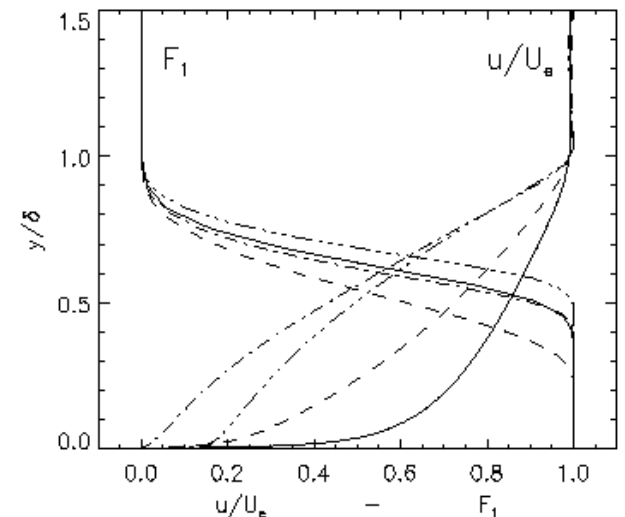
Wszystkie współczynniki są uzależnione od wartości funkcji  $F_1$ .

$$\tilde{\alpha} = \alpha_{k-\omega} \times F_1 + \alpha_{k-\varepsilon} (1 - F_1) \quad (21)$$

$$F_1 = \tanh \left( \arg_1^4 \right) \quad (22)$$

$$\arg_1 = \min \left[ \max \left( \frac{\sqrt{k}}{0.09\omega y}, \frac{500\mu}{\rho y^2 \omega} \right), \frac{4\rho\sigma_\omega 2k}{CD_{SST} y^2} \right]$$

$$CD_{SST} = \max \left( 2\rho\sigma_\omega 2 \frac{1}{\omega} \frac{\partial k}{\partial x_i} \frac{\partial \omega}{\partial x_i}, 1.0e-10 \right)$$



## Model $k-\omega$ SST

$$\frac{Dk}{Dt} = P_k - \beta^* k \omega + \frac{\partial}{\partial x_j} \left[ \left( \nu + \frac{\nu_t}{\sigma_k} \right) \frac{\partial k}{\partial x_j} \right] \quad (23)$$

$$\frac{D\omega}{Dt} = \alpha P_\omega - \beta \omega^2 + \frac{\partial}{\partial x_j} \left[ \left( \nu + \frac{\nu_t}{\sigma_\omega} \right) \frac{\partial \omega}{\partial x_j} \right] + \frac{2\sigma_{\omega 2}}{\omega} \frac{\partial k}{\partial x_j} \frac{\partial \omega}{\partial x_j} \quad (24)$$

gdzie

$$P_k = \nu_t S^2 \quad P_\omega = P_k / \nu_t$$

przy czym  $\beta^* = 0.09$ ,  $\sigma_k = 0.85 F_1 + 1.0(1-F_1)$ ,  $\alpha = 0.553 F_1 + 0.44(1-F_1)$ ,  
 $\beta = 0.075 F_1 + 0.0828(1-F_1)$ ,  $\sigma_\omega = 0.5 F_1 + 0.856(1-F_1)$ ,  $\sigma_{\omega 2} = 0.856$ .

Współczynnik lepkości turbulentnej posiada limiter naprężeń Reynoldsa (dyskutowany na jednym z poprzednich wykładów)

$$\nu_t = \frac{a_1 k}{\max(a_1 \omega, S F_2)} \quad (25)$$

gdzie  $a_1=0.31$ , funkcja  $F_2$  jest zdefiniowana podobnie jak funkcja  $F_1$ .

$$F_2 = \tanh\left(\arg_2^2\right) \quad \arg_2 = \max\left(2 \frac{\sqrt{k}}{0.09 \omega y}, \frac{500 \mu}{\rho y^2 \omega}\right) \quad 20$$

## Model $k-\omega$ SST

Związek Bradshawa:

$$-\overline{uv} = \nu_t \left| \frac{\partial U}{\partial y} \right| = a_1 k \quad (26)$$

Otrzymujemy więc

$$\nu_t = \frac{a_1 k}{\left| \frac{\partial U}{\partial y} \right|}$$

Zmieniony warunek na współczynnik lepkości turbulentnej

$$\nu_t = \frac{a_1 k}{\max(SF_2, a_1 \omega)}$$

## Model $k-\omega$ SST

Dla przepływu w warstwie przyściennej

$$P_k = \nu_t \frac{\partial U^2}{\partial y} \rightarrow \frac{\partial U}{\partial y} = \sqrt{\frac{P_k}{\nu_t}}$$

Naprężenia turbulentne można interpretować jak poniżej

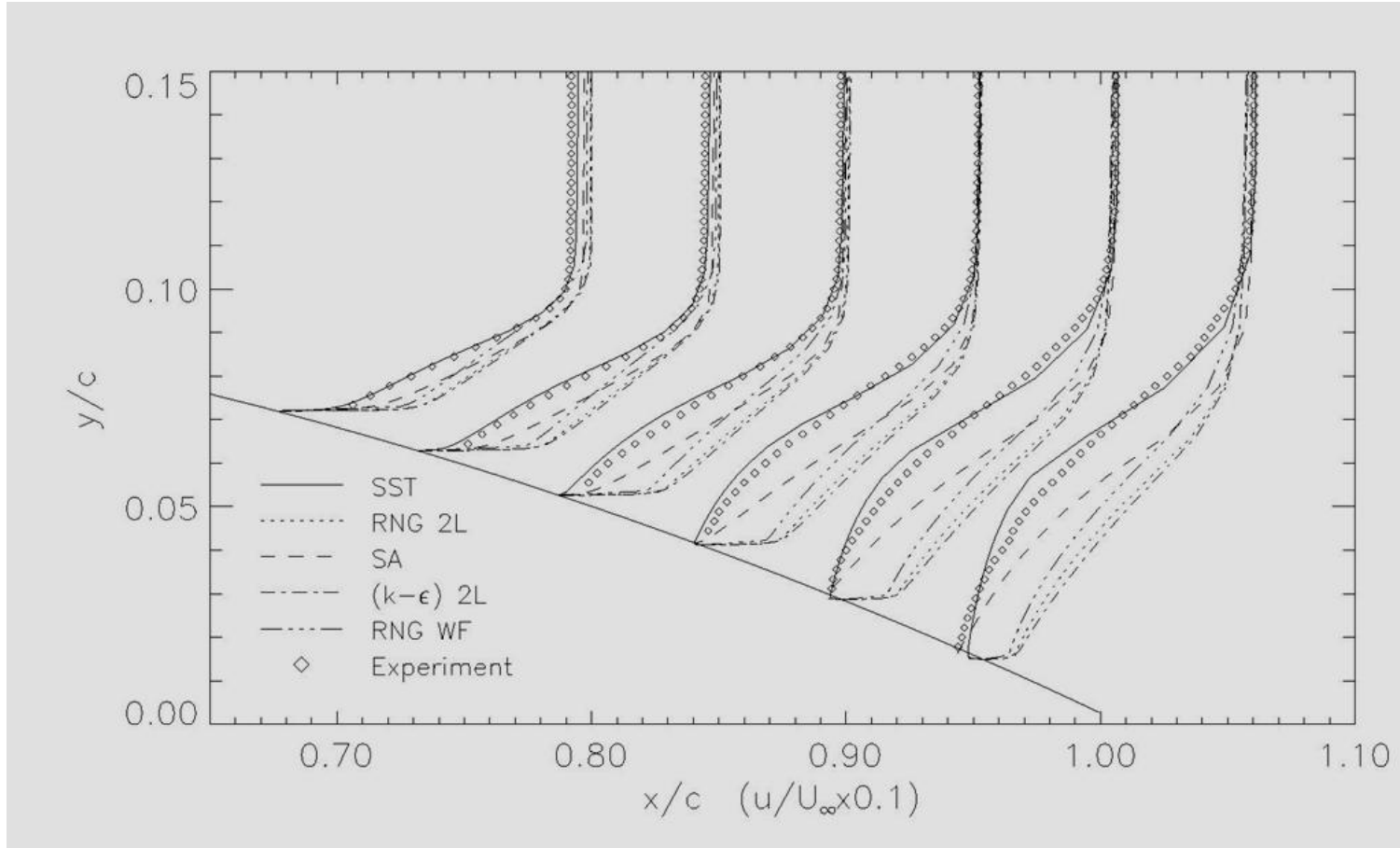
$$\tau_{xy} = \nu_t \left| \frac{\partial U}{\partial y} \right| = \nu_t \sqrt{\frac{P_k}{\nu_t}} = \sqrt{\nu_t P_k} = \sqrt{C_\mu \frac{k^2}{\varepsilon} P_k} = k \sqrt{C_\mu} \sqrt{\frac{P_k}{\varepsilon}}$$

Dla  $P_k = \varepsilon$  otrzymujemy relacje Bradshawa (26)

W przepływie z ujemnym gradientem ciśnienia model turbulencji wykazuje  $P_k \gg \varepsilon$  (w rzeczywistości jest na odwrót)

Związek Bradshawa tłumi więc nadmierną nadprodukcję turbulencji zakładając  $P_k = \varepsilon$

# Model $k-\omega$ SST



## Model Spalarta-Allmarasa

Przyjmuje się że modele dwurównaniowe pozwalają na wiarygodne modelowanie przepływów zewnętrznych jak i wewnętrznych ponieważ dostarczają informacji o charakterystycznych skalach prędkościowych jak i skalach długościowych w przepływie.

W modelowaniu turbulencji stosowane są również modele jednorównaniowe jak i zerorównaniowe (model Prandtla bazujący na hipotezie drogi mieszania).

Istnieje jednorównaniowy model turbulencji dla współczynnika  $\tilde{\nu} = \kappa u_{\tau} y$  zdefiniowanego w funkcji odległości od ściany  $y$  i prędkości tarcia  $u_{\tau}$  (Spalart Allmaras, 1992).

Równanie różniczkowe dla  $\tilde{\nu}$  („efektywna lepkość turbulentna”) przyjmuje postać równania transportu z członem konwekcyjnym, produkcyjnym, destrukcyjnym i dyfuzyjnym

$$\frac{D\tilde{\nu}}{Dt} = P_{\tilde{\nu}} - D_{\tilde{\nu}} + \frac{1}{\sigma_{\tilde{\nu}}} \left[ \frac{\partial}{\partial x_j} \left( (v + \tilde{\nu}) \frac{\partial \tilde{\nu}}{\partial x_j} \right) + c_{b2} \left( \frac{\partial \tilde{\nu}}{\partial x_j} \right)^2 \right] \quad (27)$$



## Model Spalarta-Allmarasa

Człon produkcyjny  $P_{\tilde{v}}$  modelowany jest na bazie analizy wymiarowej jak poniżej

$$P_{\tilde{v}} = c_{b1} \tilde{\Omega} \tilde{v} \quad (28)$$

gdzie stała  $c_{b1} = 0.1355$  (skalibrowana dla przepływów swobodnych).  $\tilde{\Omega}$  oznacza moduł tensora wirowości (zdefiniowany poniżej).

Człon destrukcyjny (analogię z  $\varepsilon$  na ścianie- patrz jeden z poprzednich wykładów) jest funkcją odległości od ściany  $y^{-2}$

$$D_{\tilde{v}} = c_{w1} f_w \left( \frac{\tilde{v}}{y} \right)^2 \quad (29)$$

współczynnik  $c_{w1}$  został oszacowany żądając aby w pobliżu ścian spełnione były warunki (przyjmujemy, że  $f_w=1$ ):

$$\tilde{v} = \kappa u_{\tau} y \quad \Omega = \frac{dU}{dy} = \frac{u_{\tau}}{\kappa y} \quad (30)$$

Pomijając wpływ członów konwekcyjnych w Równ. (27) otrzymujemy:

$$0 = c_{b1} \tilde{\Omega} \tilde{v} - c_{w1} \left( \frac{\tilde{v}}{y} \right)^2 + \frac{1}{\sigma_{\tilde{v}}} \left[ \frac{\partial}{\partial y} \left( (v + \tilde{v}) \frac{\partial \tilde{v}}{\partial y} \right) + c_{b2} \left( \frac{\partial \tilde{v}}{\partial y} \right)^2 \right] \quad (31)$$

## Model Spalarta-Allmarasa

Wstawiając Równ. (30) do (31) otrzymujemy

$$0 = c_{b1} \left( \frac{u_\tau}{\kappa y} \right) u_\tau \kappa y - c_{w1} \left( \frac{u_\tau \kappa y}{y} \right)^2 + \frac{1}{\sigma_v} \left[ \frac{\partial}{\partial y} \left( (v + u_\tau \kappa y) \frac{\partial(u_\tau \kappa y)}{\partial y} \right) + c_{b2} \left( \frac{\partial(u_\tau \kappa y)}{\partial y} \right)^2 \right]$$

Po przekształceniach otrzymujemy związek

$$c_{w1} = c_{b1} \kappa^{-2} - (1 + c_{b2}) / \sigma_v \quad (32)$$

Spełnienie równ. (32) gwarantuje więc spełnienie warunków (30). Jednym z podstawowych założeń w opracowaniu modelu transportu dla  $\tilde{\nu}$  jest uzyskanie quasi-linowej zmienności współczynnika  $\tilde{\nu}$  w funkcji odległości od ściany. Człon destrukcyjny w równ. (27) może powodować nadmierną „dyssypację” daleko od ścian (bo  $D_{\tilde{\nu}} = c_{w1} (\tilde{\nu} / y)^2$  - lepkość turbulentna rośnie szybciej od  $y$ ). Spalart i Allmaras dezaktywują więc człon destrukcyjny daleko od ścian z wykorzystaniem funkcji  $f_w$  ( $f_w = 1$  na ścianie i  $f_w \rightarrow 0$  dla  $y \rightarrow \infty$ ).  $f_w$  dane jest jak poniżej:

$$f_w = g \left[ \frac{65}{g^6 + 64} \right]^{1/6} \quad (33)$$

gdzie  $g = r + 0.3(r^6 - r)$ ,  $r = \tilde{\nu} / (\tilde{\Omega}(\kappa y)^2)$ .

## Model Spalarta-Allmarasa

Zmodyfikowany moduł tensora wirowości przyjmuje postać

$$\tilde{\Omega} = \Omega + \frac{\tilde{\nu}}{\kappa^2 y^2} - \frac{\tilde{\nu}^2}{\nu \kappa^2 y^2 (1 + (\tilde{\nu}/\nu) f_{v1})} \quad (34)$$

$f_{v1}$  jest funkcją tłumiącą która kontroluje stopień wzrostu lepkości turbulentnej w pobliżu ściany.  $\Omega = \sqrt{2\Omega_{ij}\Omega_{ij}}$ ,  $\Omega_{ij} = 1/2(\partial U_i/\partial x_j - \partial U_j/\partial x_i)$ .

$$f_{v1} = \frac{(\tilde{\nu}/\nu)^3}{(\tilde{\nu}/\nu)^3 + c_{v1}^3} \quad (35)$$

W pobliżu ścian (dla  $y \rightarrow 0$  i  $f_{v1} \rightarrow 0$ ) trzeci człon na prawej stronie Równ. (34) eliminuje  $\Omega$ . Otrzymujemy więc

$$\tilde{\Omega} = \Omega + \frac{\tilde{\nu}}{\kappa^2 y^2} - \frac{u_\tau^2}{\nu} \quad (36)$$

Wiedząc, że  $\frac{u_\tau^2}{\nu} \cong \Omega$  otrzymujemy

$$\tilde{\Omega} \cong \frac{\tilde{\nu}}{\kappa^2 y^2} \cong \frac{u_\tau}{\kappa y} \cong \frac{\partial U}{\partial y} \quad (37)$$

Związek (37) oznacza że w pobliżu ściany moduł tensora prędkości deformacji dąży w sposób asymptotyczny do funkcji  $u_\tau/(\kappa y)$  tzw. funkcja ściany (patrz kolejny wykład).

## Model Spalarta-Allmarasa

Współczynnik lepkości turbulentnej (RANS) jest wyznaczany z zależności

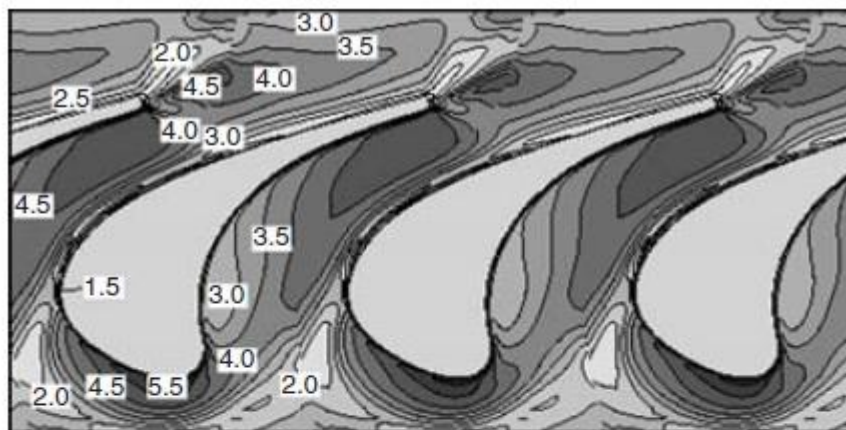
$$\nu_t = \tilde{\nu} f_{\nu 1} \quad (38)$$

gdzie  $f_{\nu 1}$  dane jest Równ. (35).

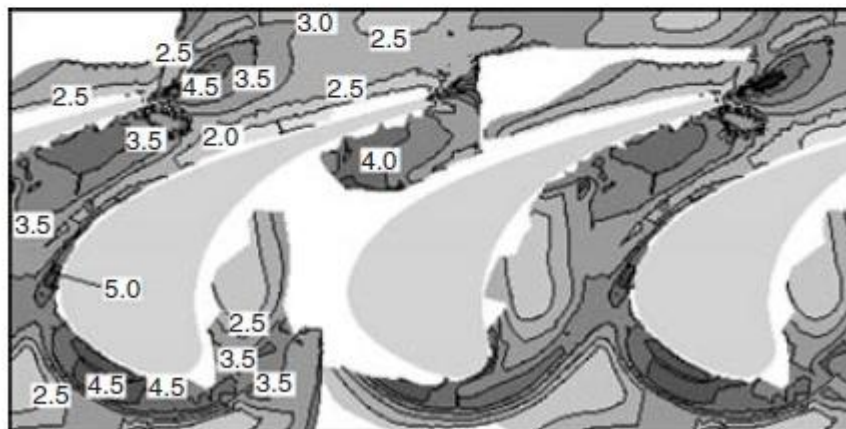
Pozostałe stałe wynoszą

$$c_{b2} = 0.622 \quad \sigma_{\tilde{\nu}} = 2/3 \quad c_{\nu 1} = 7.1 \quad \kappa = 0.4187$$

## Model Spalarta-Allmarasa



SA model



Experiment

Modelowanie procesu wymiany ciepła przez stopień turbiny (liczba Stanton= $h/(\rho c_p V)$ ). Wyniki numeryczne Iaccarino i Kalitzin.